

吊床版歩道橋の3次元解析と振動制御

長崎大学工学部 学生員○馬渡 あかね
長崎大学工学部 正員 岡林 隆敏
オリエンタル建設(株) 正員 角本 周

1.はじめに

近年、橋梁の美観が重要視されるなかで、吊形式の橋梁が多く架設されている。しかしこのような構造の橋梁、たとえば吊形式の歩道橋はフレキシブルな構造形式であるため、通常の歩道橋に比べて揺れやすい。⁽¹⁾そこで吊床版歩道橋の振動を低減するために、その対策の一つとして振動制御を考える。⁽²⁾対象構造物となる吊床版橋は、橋脚が高く、3次元的な挙動を示す可能性があるため、3次元骨組構造でモデル化した。この数値解析では、有限要素法によるモデル化を行い、数値処理ソフトウェアMATLABを用いて固有値解析、ならびに振動制御のシミュレーションを行った。さらに、振動制御では、定常最適レギュレータ制御理論を用いて、その有効性を数値シミュレーションにより検討した。

2.制御対象

制御対象とした吊床版橋は、大分県内の香下ダム吊床版橋で、これはダムの中に架設された歩道橋である。橋長139.0m、橋脚高さ31.5mであり、その一般図および諸元を図-1、表-1に示した。歩道橋であるために、人力走行外力に対する振動を制御の対象とする。このため対象となる振動数範囲は、人の歩調の周波数帯域である1.5Hzから3.5Hzである。吊床版橋における減衰は小さいので、シミュレーションでは減衰定数を0.005とした。

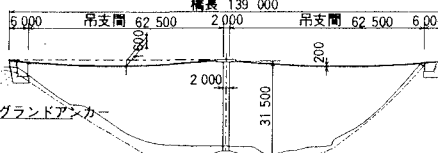


図-1 香下ダム吊橋一般図

表-1 吊橋の諸元

橋名	香下ダム吊橋
構造形式	2径間連続吊床版橋
橋長	139.0m
吊支間長	62.5m
サグ	1.6m

3.振動解析

有限要素法解析のための解析モデルを、図-2に示す。このモデルの総節点数は99、総要素数は150であり、吊床版の振動特性に対応した、3次元骨組構造である。上部構および橋脚部の境界条件はすべて固定とした。橋梁部の橋軸方向中央部、および橋脚部のみに集中質量があるものと仮定した。モデル化においては橋脚部を含む2径間を対象とし、数値処理ソフトウェアMATLABを使って、プログラムを作成した。これより固有値解析の結果の中で7、8、9、10次モードを、図-3に示す。7、8次モードはそれぞれ逆対称、対称の曲げ3次モードであり9、10次モードはそれぞれ逆対称、対称の曲げ4次モードである。また、1次から12次までの固有振動数の解析結果を表-2に示す。この結果から比較的低い振動数の範囲に多くの固有振動数が存在している。また、振動数が近接しているところは、それぞれ対称、逆対称を示すモードであり、吊床版橋の振動特性を示している。このため、振動制御を行った際の振動波形には、いくつかの近接する振動モードが同時に励起されるものと考えられる。走行外力の歩調が2.8Hzであることを考え、振動制御の対象とする振動モードは、11次までとした。



図-2 吊橋の骨組構造モデル

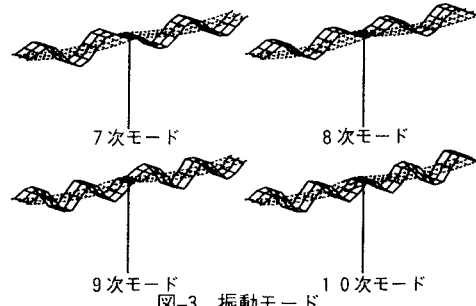


図-3 振動モード

表-2 固有振動数

振動次数	振動数(Hz)	振動次数	振動数(Hz)
1 次	0.5897	7 次	1.9001
2 次	1.1661	8 次	2.0756
3 次	1.1676	9 次	2.7583
4 次	1.4705	10 次	2.7642
5 次	1.7055	11 次	2.9550
6 次	1.7191	12 次	3.5487

4. 振動制御について

構造物の運動方程式および変位ベクトル $\mathbf{y}(t)$ は、次式で与えられる。 \mathbf{m} 、 \mathbf{c} 、 \mathbf{k} はそれぞれ質量、減衰、

$$\mathbf{m}\ddot{\mathbf{y}}(t) + \mathbf{c}\dot{\mathbf{y}}(t) + \mathbf{k}\mathbf{y}(t) = \mathbf{f}(t) + \mathbf{u}(t) \quad (1)$$

$$\mathbf{y}(t) = \Phi\mathbf{q}(t) \quad (2)$$

Φ は、モード行列である。基準座標方程式は次のようにになる。

$$\ddot{\mathbf{q}}(t) + \mathbf{H}\dot{\mathbf{q}}(t) + \Omega^2\mathbf{q}(t) = \mathbf{bf}(t) + \mathbf{du}(t) \quad (3)$$

(3)式を、状態空間表示すると、次式を得る。

$$\mathbf{x}(t) = [\mathbf{q}(t) \quad \dot{\mathbf{q}}(t)]^T \quad (4)$$

$$\begin{cases} \dot{\mathbf{x}}(t) = \mathbf{Ax}(t) + \mathbf{Bf}(t) + \mathbf{Du}(t) \\ \mathbf{y}(t) = \mathbf{Cx}(t) \end{cases} \quad (5)$$

振動制御に、最適レギュレーター理論を用いた。全状態量がフィードバックできるとして、制御力を $\mathbf{u}(t) = -\mathbf{Kx}(t)$ とする。フィードバックゲイン行列は、次のRiccati方程式で計算できる。

$$\mathbf{K} = \mathbf{R}^{-1}\mathbf{B}^T\mathbf{P} \quad (6)$$

$$\mathbf{PA} + \mathbf{A}^T\mathbf{P} - \mathbf{PDR}^{-1}\mathbf{D}^T\mathbf{P} + \mathbf{Q} = \mathbf{0} \quad (7)$$

5. 解析結果と考察

MATLABを用いて、制御対象橋梁に、2種類の外力を作用させた場合の振動制御を行った。①自由振動：橋長の7/16地点に1.0tの衝撃力を0.2秒間作用させた場合。

観測および制御地点は7/16地点とし、この場合の変位応答と制御力の結果が図-4である。

振動波形はさまざまな振動数をもつ振動モードの複合波形になっている。そこで振動エネルギーが突出した振動数2.09Hzの領域だけの波形を取り出し、減衰定数を比較した。その結果、制御前と制御後で、0.005から0.02となった。

②走行外力による振動：体重60kgfの人が、歩調2.8Hz、走行速度2.9m/sで走行する場合。衝撃力比を1.6とし、走行外力波形として図-5のような正弦波形を用いることとする。観測および制御地点は3/8地点とし、この場合の変位応答と制御力の結果が図-6である。振幅の最大値は、制御後には、83%程度に抑えられた。いずれの制

御も制御地点にアクチュエータ1台を設置している。制御力の最大値は外力の最大値と比較すると、①が10%程度、②が30%程度であり、制御の有効性が確認できた。

6. まとめ

構造物のモデル化、および数値解析に数値処理ソフトウェアMATLABを利用した。その結果、プログラムの開発環境が効率的であり、構造物の振動へも適用可能であることが確認できた。さらに、シミュレーションより振動の低減状態および制御力から、吊床版橋におけるアクティブ振動制御の有効性が確認された。

【参考文献】 1) 角本・前田・梶川・黒野：橋梁交通振動コロキウム論文集、B、pp.207-214、1995.

2) 小松・岡林・角本：平成6年度土木学会西部支部講演概要集、I-54、pp.108-109.

3) The Math Works, Inc : MATLAB Reference Guide、サイバネットシステム株式会社、1993.

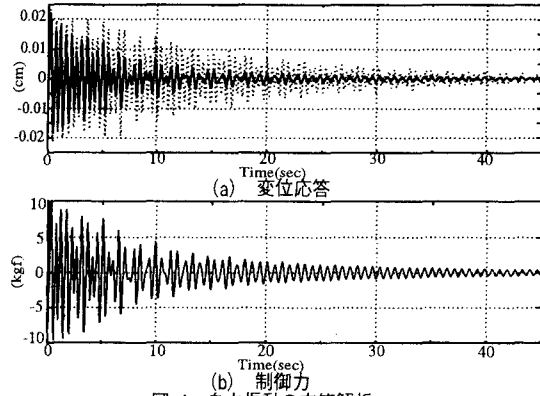


図-4 自由振動の応答解析

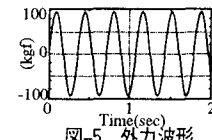


図-5 外力波形

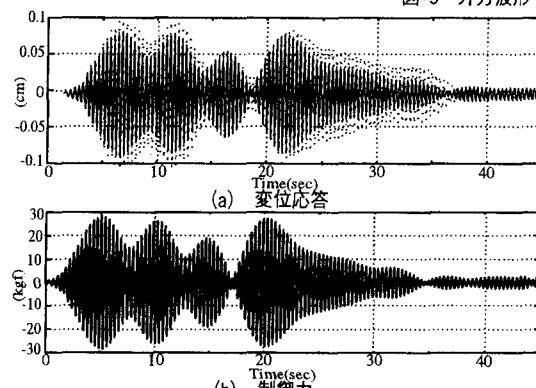


図-6 走行外力の応答解析